



การศึกษาสถานะบีบอัดของแสงในวงแหวนสั่นพ้องแพนด้า

The Study of Squeezed State of Light within a PANDA Ring Resonator

ดร. ชัชวาล ศรีภักดี

งานวิจัยนี้ได้รับทุนสนับสนุนจากงบประมาณเงินผลประโยชน์ประจำปีงบประมาณ พ.ศ. 2558
คณะวิทยาศาสตร์และเทคโนโลยี มหาวิทยาลัยเทคโนโลยีราชมงคลพระนคร



The Study of Squeezed State of Light within a PANDA Ring Resonator

Chatchawal Sripakdee



This research is funded by Faculty of Science and Technology
Rajamangala University of Technology Phra Nakhon
Year 2015

ชื่อเรื่อง : การศึกษาสถานะบีบอัดของแสงในวงแหวนสั่นพ้องแพนด้า
ผู้วิจัย : ดร. ชัชวาล ศรีภักดี
ปีที่ทำการวิจัย : 2558

บทคัดย่อ

ได้วิเคราะห์การแผ่ของคลื่นโพตอนในแบบวงแหวนสั่นพ้องแพนด้า เพื่อศึกษาสถานะโพตอนในรูปแบบของสถานะบีบอัด และยังได้ศึกษาการผลิตโพตอนสถานะเกี่ยวพันกันจากกระบวนการผสมคลื่นแสงสี่แบบเพื่อการประยุกต์ใช้ในระบบสารสนเทศเชิงควอนตัม และยังได้ศึกษาสัญญาณรบกวนที่เกิดจากผลของอุณหภูมิก่เกิดขึ้นในระบบด้วย ผลที่ได้พบว่ามีคามเหมาะสมที่จะได้นำวงแหวนดังกล่าวไปออกแบบเพื่อบรรจุเป็นชิ้นส่วนของหน่วยประมวลผลระดับควอนตัมของควอนตัมคอมพิวเตอร์ได้

คำสำคัญ: สถานะบีบอัดของโพตอน , วงแหวนสั่นพ้องแพนด้า



Title : The Study of Squeezed State of Light within a PANDA Ring Resonator
Researcher : Dr. Chatchawal Sripakdee
Year of research : 2015

Abstract

The propagation of photon states in a nonlinear micro - PANDA ring resonator are studied and analyzed. The squeezed state representation of photon can be achieved via four - wave mixing process in the micro-ring resonator. The effect of thermal noise is also studied to optimum the validity of the next application in the CPU of quantum computer.

Keywords: Squeezed state, micro - PANDA ring resonator.



กิตติกรรมประกาศ

รายงานการวิจัยฉบับนี้สำเร็จลุล่วงไปได้ เนื่องจากผู้วิจัยได้รับความกรุณาช่วยเหลืออย่างดียิ่งจากบุคคลที่ให้การสนับสนุนในด้านต่างๆ ดังนี้

ขอขอบคุณ คุณสุมาลี จันทรหวัโตน ในการจัดพิมพ์ต้นฉบับรูปเล่มงานวิจัย

ขอขอบคุณ นิสากร น่วมศรีนวล ที่ได้ช่วยออกแบบระบบและทดสอบเครื่องมือวัดสัญญาณต่างๆที่เกี่ยวข้อง

สุดท้ายขอขอบคุณคณะวิทยาศาสตร์และเทคโนโลยี มหาวิทยาลัยเทคโนโลยีราชมงคลพระนคร ที่สนับสนุนเงินทุนการวิจัย

ดร. ชัชวาล ศรีภักดี



สารบัญ

	หน้า
บทคัดย่อภาษาไทย	A
บทคัดย่อภาษาอังกฤษ	B
กิตติกรรมประกาศ	C
สารบัญตาราง	E
บทที่ 1 บทนำ	1
1.1 ความเป็นมาและความสำคัญของปัญหา	1
1.2 วัตถุประสงค์ของโครงการวิจัย	1
1.3 ขอบเขตของโครงการวิจัย	1
1.4 ทฤษฎี สมมติฐาน และกรอบแนวความคิดของโครงการวิจัย	1
1.5 ประโยชน์ที่คาดว่าจะได้รับ	1
บทที่ 2 เอกสารและงานวิจัยที่เกี่ยวข้อง	2
2.1 บทนำ	3
2.2 ทฤษฎีควอนตัมของแสงเบื้องต้น	3
2.3 วงแหวนสั่นพ้องแพนด้า	5
บทที่ 3 วิธีดำเนินการวิจัย	6
3.1 การสร้างสถานะสุญญากาศบีบอัด	6
3.2 พลศาสตร์ของสนามไฟฟ้าในท่่วงแหวนสั่นพ้องแพนด้า	10
3.3 การประยุกต์วิธีไฮโมดาแบบสมดุลงกับการสั่นแกว่งเฉพาะที่โมโนโครมาติก	10
3.4 การเหลื่อมทับกันเชิงปริภูมิของลำแสงสัญญาณกับตัวสั่นเฉพาะที่	13
3.5 การสร้างสถานะสุญญากาศบีบอัดด้วยวิธีเรโซแนนท์	16
3.6 แฮมิลโตเนียนของระบบ	19
บทที่ 4 ผลการวิเคราะห์ข้อมูล	21
4.1 ผลการวิเคราะห์สมการเชิงตัวเลข	21
บทที่ 5 สรุป อภิปรายผลการวิจัย และข้อเสนอแนะ	24
5.1 สรุปผล	24
5.2 ข้อเสนอแนะ	24
บรรณานุกรม	25
ประวัติผู้วิจัย	26

บัญชีภาพประกอบ

รูปที่		หน้า
2.1	แสดงวงจร PANDA Ring Resonator	5
3.1	แสดงแผนภาพของเครื่องมือโฮโมตาย แสงตัวสั้นเฉพาะที่อยู่ในสถานะโคฮีเรนต์แบบโมดเดี่ยว ค่ากำลังของความต่างกระแสไฟฟ้าถูกวัดโดยเครื่องวิเคราะห์สเปกตรัม	11
3.2	ความไม่อิสระของกำลังที่ปกติแล้วที่ขึ้นกับมุมเฟสของการสั้นเฉพาะที่มีค่าพารามิเตอร์บีบอัด $r = 0.3$ กำลังของสัญญาณรบกวนที่เป็นปกติแล้วมีหน่วยเป็นเดซิเบล (dB) ซึ่งได้มาจากสูตร	13
3.3	กราฟความสัมพันธ์ระหว่างสเปกตรัมกำลังซึ่งขึ้นกับมุมเฟสของการสั้นเฉพาะที่ค่าพารามิเตอร์การบีบอัด $r = 0.3$ สภาพมองเห็นได้ $\xi = 0.95$ และการสูญเสีย $L = 0.2$	14
3.4	ไดอะแกรมการสูญเสีย สถานะสัญญาณการบีบอัด -3 dB มีค่าการสูญเสีย $L = 0.5$ หลังจากการดูดกลืนระดับการบีบอัดที่สังเกตได้ลดลงเป็น -1.2 dB	15
3.5	แสดงความสัมพันธ์ระหว่างสเปกตรัมกำลังและประสิทธิภาพการตรวจจับ ζ โดยมีค่าพารามิเตอร์การบีบอัด $r = 3$	15
4.1	แสดงการวิวัฒนาการตามเวลาของตัวดำเนินการโพตอนในโมดสัญญาณ $\alpha_s(t)$ ณ เวลา t ใดๆ	21
4.2	การกระจายความหนาแน่นความน่าจะเป็นของตัวดำเนินการ α_s มีค่าที่ยอมรับได้สำหรับค่าสังเกตต่างๆ	21
4.3	เส้นวิถีของสถานะตัวดำเนินการสถานะสัญญาณโพตอน α_s ทั้งส่วนจริงและส่วนจินตภาพ ที่สอดคล้องกับสมการ (121)	22
4.4	ความแปรปรวนร่วม V^{inf} ของการวิวัฒนาการสถานะของสัญญาณ α_s มีค่าน้อยกว่าหนึ่งซึ่งสอดคล้องกับอสมการของเบลล์	22
4.5	การขึ้นกับเวลาการวัดสัญญาณรบกวนของพัลส์ที่เหย้าเข้าไปเพื่อเป็นตัวตรวจสอบ โดยเส้นกราฟเส้นกลาง คือ พัลส์อ้างอิง ส่วนบนและเส้นล่างเป็นของพัลส์โมดสัญญาณและโมดนิ่งเฉยตามลำดับ	23

บทที่ 1

บทนำ

1.1 ความสำคัญและที่มาของปัญหาที่ทำการวิจัย

วงแหวนสั้นพ้องแพนด้าเป็นสิ่งประดิษฐ์ที่มีประโยชน์มากทั้งในด้านการสื่อสารระยะไกลด้วยระบบเส้นใยแก้วนำแสง และด้านเทคโนโลยีการประดิษฐ์ตัวตรวจรู้เพื่อประยุกต์ใช้ในการดักจับอะตอมหรือโมเลกุลของสสารได้อย่างแม่นยำยาวนานยิ่ง และเป็นวิธีการสร้างสถานะควิบิตจากอะตอมที่ดีย่ยมอีกวิธีหนึ่งเพื่อนำไปใช้ในการประมวลผลในซีพียูของควอนตัมคอมพิวเตอร์และเทคโนโลยีการสื่อสารเชิงควอนตัมในอนาคตต่อไปได้อย่างคุ้มค่ายิ่ง การเพิ่มประสิทธิภาพการดักจับอะตอมหรือโมเลกุลของวงแหวนสั้นพ้องแพนด้าจึงมีความสำคัญและจำเป็นอย่างยิ่ง เพราะเป็นเครื่องมือที่มีต้นทุนต่ำแต่มีประสิทธิภาพในการใช้งานสูงมาก พกพาสะดวก และมีขนาดเล็ก ดังนั้น ประเด็นหลักของการเพิ่มประสิทธิภาพการดักจับอะตอม คือ การเพิ่มอัตราการผลิตขึ้นของโฟตอนโหมดของห้องการสะท้อนแสง (WGM) หรือกล่าวอีกนัยหนึ่ง คือ การเพิ่มขึ้นของอัตราการเกิดของอันตรกิริยาระหว่างโฟตอนโหมดของสัญญาณขาเข้าและโมเลกุลที่ไม่ตอบสนองต่อสนามไฟฟ้าแบบเชิงเส้นของวงแหวนสั้นพ้องแพนด้านั่นเอง ดังนั้น สถานะโฟตอนจากกระบวนการนี้จึงสามารถอธิบายด้วยสถานะบีบอัดได้ ซึ่งเกิดขึ้นร่วมกับสมบัติทางจุลภาคของเส้นใยแก้วนำแสง

1.2 วัตถุประสงค์ของโครงการวิจัย

เพื่อศึกษาสถานะบีบอัดของโฟตอนในวงแหวนสั้นพ้องแพนด้า

1.3 ขอบเขตของโครงการวิจัย

1.3.1 ศึกษาเฉพาะสถานะบีบอัดของโฟตอนเท่านั้น เพราะเป็นสถานะที่เกิดจากอันตรกิริยาระหว่างโฟตอนและตัวกลางไม่เชิงเส้นนอนพาราเมตริก $\chi^{(3)}$

1.3.2 ศึกษาวงแหวนสั้นพ้องแพนด้า เพียง 1 คู่

1.4 ทฤษฎี สมมติฐาน (ถ้ามี) และกรอบแนวความคิดของโครงการวิจัย

สมมติฐานของการวิจัย คือ วงแหวนสั้นพ้องแพนด้าให้โหมด WGM ที่มีเกรเดียนต์ ของสนามไฟฟ้าที่มีขนาดเข้มข้นและสามารถดักจับอนุภาคที่มีโพลาริเซชันได้

1.5 ประโยชน์ที่คาดว่าจะได้รับ

ด้านวิชาการ ใช้ประกอบการเรียนการสอน ต่อยอดเชิงวิจัย

1.6 แผนการถ่ายทอดเทคโนโลยีหรือผลการวิจัยสู่กลุ่มเป้าหมาย

1.6.1 เผยแพร่ ตีพิมพ์ผลงานการวิจัยในวารสารวิชาการ

1.6.2 สอนบรรยายให้แก่นักศึกษา มทร.พระนคร หรือ สถาบันอุดมศึกษาอื่น หรือภาคอุตสาหกรรม ที่ให้ความสนใจ

บทที่ 2

เอกสารและงานวิจัยที่เกี่ยวข้อง

2.1 บทนำ

ถึงแม้ว่า ดิแรก (P. A. M. Dirac) ได้ค้นพบทฤษฎีควอนตัมของการแผ่รังสีแล้วก็ตาม แต่การอธิบายปรากฏการณ์ต่างๆของแสงส่วนใหญ่ในขณะนั้นยังอยู่ในกรอบของทฤษฎีแก๊สแมกซ์เวลล์ ซึ่งแสงประพฤติตัวตามแบบของทฤษฎีสถานะไฟฟ้าแมกซ์เวลล์ ต่อมา หยวน (H. P. Yuen) ได้นำแนวคิดของสถานะบีบอัดเข้ามาใช้และสถานะดังกล่าวสามารถผลิตขึ้นมาได้โดยใช้กระบวนการขยายสัญญาณแบบพาราเมตริกซ์สถานะซ้ำซ้อน สถานะบีบอัดจึงเป็นอีกรูปแบบหนึ่งของแสงที่แสดงให้เห็นว่าสถานะของแสงไม่ใช่สถานะแบบดั้งเดิมอีกต่อไป เนื่องจากสถานะบีบอัดมีประโยชน์ทั้งต่อการประยุกต์ใช้ในการสื่อสารเชิงแสงและการตรวจวัดการแผ่รังสีความโน้มถ่วงเป็นอย่างมาก ดังนั้น จึงมีการทดลองจำนวนมากพยายามผลิตสถานะบีบอัด และในปี ค.ศ. 1986 สลัชเชอร์ (R. E. Slusher) และคณะ ประสบความสำเร็จในการผลิตสถานะบีบอัดโดยใช้การขยายสัญญาณแบบพาราเมตริกซ์โดยใช้ดาวยเลเซอร์ ข้อดีของสถานะบีบอัด คือ การมีสัญญาณรบกวนในควอดเรเจอร์หนึ่งของสนามไฟฟ้าต่ำกว่าสถานะสุญญากาศมาก โดยในปี ค.ศ. 2006 ก็สามารถผลิตระดับความเข้มการบีบอัดเพิ่มขึ้นได้ถึง 7 dB จากการสั้นแวงแบบพาราเมตริกซ์ย่อยของการกระตุ้นต่ำสุด

สถานะบีบอัดสุญญากาศได้แสดงภาพลักษณ์ของแสงเชิงควอนตัมออกมาจำนวนมาก และลำแสงสหสัมพันธ์แบบ EPR ก็ถูกผลิตขึ้นตามมาได้อย่างสำเร็จโดยอาศัยการเชื่อมข้อบกพร่องของลำแสงสองลำซึ่งเกิดจากการกระตุ้นผลึกไม่เชิงเส้น โดยต่อมอลำแสง EPR ได้เข้ามามีบทบาทอย่างมากในการเคลื่อนย้ายสถานะทางควอนตัม ในปี ค.ศ. 1998 ฟุรุซาวา (A. Furusawa) และคณะ ประสบผลสำเร็จอย่างงดงามในการทดลองเพื่ออธิบายการเคลื่อนย้ายสถานะควอนตัมของแสง เช่นเดียวกันกับกลุ่มของบรอนสไตน์ (S. L. Braunstein) ก็ได้พัฒนาทฤษฎีสารสนเทศเชิงควอนตัมของตัวแปรต่อเนื่องขึ้นมาซึ่งสถานะบีบอัดสุญญากาศถูกใช้งานเพื่อเป็นตัวนำพาข้อมูลสารสนเทศระหว่างผู้รับและผู้ส่ง

คุณสมบัติที่สำคัญอย่างหนึ่งของแสงเลเซอร์ คือ ความมีระเบียบแบบอาพันธ์ซึ่งมักใช้เป็นตัวกลางการประยุกต์ใช้ที่สำคัญ คือ เพื่อให้เกิดการสะท้อนของโฟตอนหรือโฟตอนเอ็คโค การเตรียมสารไดโอดีเล็คทริกโม่เมนต์ที่มีความพร้อมเพรียงสูงสำหรับสารทั่วไปทำได้โดยยิงพัลส์แรกของแสงเลเซอร์ใส่สารเพื่อทำให้เกิดการเปลี่ยนเฟสหลังจากนั้นยิงพัลส์เลเซอร์ชุดที่สองตามมาแล้วสารก็เกิดการปลดปล่อยเอ็คโคโฟตอนออกมา ซึ่งแนวคิดนี้ได้มาจากสปินเอ็คโคในแม็กนีโตรีโซแนนซ์ ซึ่งเกี่ยวข้องกับ การเกิดความพร้อมเพรียงของสปินในสนามแม่เหล็ก สมการบล็อคเชิงแสงแสดงความสมนัยระหว่างไดโพลของอะตอมที่เกิดจากการยิงลำแสงเลเซอร์เข้าไปเหนี่ยวนำ และการกระตุ้นการเหนี่ยวนำสปินโดยสนามแม่เหล็ก

2.2 ทฤษฎีควอนตัมของแสงเบื้องต้น

นักฟิสิกส์ชาวอังกฤษ ชื่อ เจมส์ เคลิร์ก แม็กซ์เวลล์ (James Clerk Maxwell) ค.ศ. 1831–1879 เป็นบุคคลคนแรกที่ทำนายการมีอยู่ของสมการคลื่นสนามแม่เหล็กไฟฟ้าในสุญญากาศ ณ ตำแหน่ง $\mathbf{r} = (x, y, z)$ และ เวลา t โดยเขียนได้ว่า

$$\frac{\partial^2}{\partial \mathbf{r}^2} \mathbf{A}(\mathbf{r}, t) = \frac{1}{c^2} \frac{\partial^2}{\partial t^2} \mathbf{A}(\mathbf{r}, t) \quad (1)$$

โดยที่

$$\mathbf{A}(\mathbf{r}, t) = \mathbf{A}^{(+)}(\mathbf{r}, t) + \mathbf{A}^{(-)}(\mathbf{r}, t) \quad (2)$$

เรียกว่า ศักย์เวกเตอร์ (Vector Potential) โดยที่ $\mathbf{A}^{(+)}(\mathbf{r}, t) = (\mathbf{A}^{(-)}(\mathbf{r}, t))^*$ โดย สนามไฟฟ้า $\mathbf{E}(\mathbf{r}, t)$ มีความสัมพันธ์กับ ศักย์เวกเตอร์ $\mathbf{A}(\mathbf{r}, t)$ คือ

$$\mathbf{E}(\mathbf{r}, t) = -\frac{\partial}{\partial t} \mathbf{A}(\mathbf{r}, t) \quad (3)$$

สนามแม่เหล็ก $\mathbf{B}(\mathbf{r}, t)$ มีความสัมพันธ์กับ ศักย์เวกเตอร์ คือ

$$\mathbf{B}(\mathbf{r}, t) = \mu_0 \mathbf{H}(\mathbf{r}, t) = \nabla \times \mathbf{A}(\mathbf{r}, t) \quad (4)$$

สมการ (1) มีผลเฉลยในรูป

$$\mathbf{A}(\mathbf{r}, t) = \sum_k \left(\frac{\hbar}{2\omega_k \epsilon_0} \right)^{1/2} [\hat{a}_k \mathbf{u}_k(\mathbf{r}) e^{-i\omega_k t} + \hat{a}_k^\dagger \mathbf{u}_k^*(\mathbf{r}) e^{i\omega_k t}]. \quad (5)$$

เมื่อความสัมพันธ์การสลับที่ของตัวดำเนินการโบซอนของโฟตอน คือ

$$[\hat{a}_k, \hat{a}_{k'}^\dagger] = \delta_{kk'}, \quad (6)$$

$$[\hat{a}_k, \hat{a}_{k'}] = [\hat{a}_k^\dagger, \hat{a}_{k'}^\dagger] = 0 \quad (7)$$

และ

$$\mathbf{u}_k(\mathbf{r}) = \frac{1}{L^{3/2}} \hat{\mathbf{e}}^{(\lambda)} \exp(i\mathbf{k} \cdot \mathbf{r}) \quad (8)$$

โดยที่ความสัมพันธ์เชิงตั้งฉากของ $\mathbf{u}_k(\mathbf{r})$ คือ

$$\int_V \mathbf{u}_k^*(\mathbf{r}) \mathbf{u}_{k'}(\mathbf{r}) d\mathbf{r} = \delta_{kk'} \quad (9)$$

สัญลักษณ์ $\hat{\mathbf{e}}^{(\lambda)} = |H\rangle, |V\rangle$ ทางขวามือของ สมการ (8) แสดงสถานะโพลาไรซ์ที่ตั้งฉากกัน (orthonormal) ของโฟตอนอนุภาคหนึ่ง ซึ่งมีอยู่สองสถานะเช่นเดียวกับกรณีของสถานะสปินของอิเล็กตรอนอนุภาคหนึ่ง กล่าวคือ $|H\rangle$ ใช้แทนเวกเตอร์สถานะโพลาไรซ์ของโฟตอนในแนวตั้ง และ $|V\rangle$ แทนเวกเตอร์สถานะโพลาไรซ์ของโฟตอนในแนวตั้ง

ตัวดำเนินการพลังงานรวมหรือแฮมิลโทเนียนของสนามแม่เหล็กไฟฟ้าอยู่ในรูป

$$\hat{\mathcal{H}} = \frac{1}{2} \int (\epsilon_0 \mathbf{E}^2 + \mu_0 \mathbf{H}^2) d\mathbf{r} \quad (10)$$

จากผลเฉลยตามสมการ (5) เมื่อแทนค่าสนามไฟฟ้า $\mathbf{E}(\mathbf{r}, t)$ จากสมการ (3) และสนามแม่เหล็ก $\mathbf{B}(\mathbf{r}, t)$ จากสมการ (4) ลงในสมการ (10) ดังนั้น ตัวดำเนินการแฮมิลโทเนียน $\hat{\mathcal{H}}$ จึงเขียนใหม่ได้เป็น

$$\hat{\mathcal{H}} = \sum_k \hbar \omega_k \left(\hat{a}_k^\dagger \hat{a}_k + \frac{1}{2} \right) \quad (11)$$

ซึ่งตรงกับรูปแบบของตัวดำเนินการพลังงานของการสั่นแกว่งแบบฮาร์มอนิกที่คุ้นเคยกันดีในกลศาสตร์ควอนตัมนั่นเอง จากเหตุผลนี้จึงทำให้ทราบว่า สถานะของโฟตอนสามารถอธิบายได้ใน 3 รูปแบบ คือ

2.2.1 สถานะฟอคหรือสถานะเชิงตัวเลข (Fock or Numer State)

สถานะแบบนี้มีเวกเตอร์เจาะจงและค่าเจาะจงที่สอดคล้องกัน คือ

$$\hat{a}_k^\dagger \hat{a}_k |n_k\rangle = n_k |n_k\rangle \quad (12)$$

โดยที่ $n_k = 1, 2, 3, \dots, \infty$ และ

$$\langle n_k | m_k \rangle = \delta_{mn} \quad (13)$$

และการดำเนินการของตัวดำเนินการทำลายต่อสถานะสูญญากาศ (vacuum state) ให้ค่าเจาะจง คือ

$$\hat{a}_k |0\rangle = 0 \quad (14)$$

ดังนั้น จึงเขียนสถานะเชิงตัวเลขใดๆให้อยู่ในสถานะสูญญากาศได้เป็น

$$|n_k\rangle = \frac{(\hat{a}_k^\dagger)^{n_k}}{(n_k!)^{1/2}} |0\rangle \quad (15)$$

และมีความสัมพันธ์บริบูรณ์ เป็น

$$\sum_{n_k=0}^{\infty} |n_k\rangle \langle n_k| = 1 \quad (16)$$

2.2.2 สถานะอาพันธ์ (Coherent States)

เวกเตอร์เคทของสถานะนี้เขียนอยู่ในรูป

$$|\alpha\rangle = \hat{D}(\alpha) |0\rangle \quad (17)$$

โดยที่ตัวดำเนินการกระจัด

$$\hat{D}(\alpha) = \exp(\alpha \hat{a}^\dagger - \alpha^* \hat{a}) \quad (18)$$

โดยที่ α, α^* เป็นจำนวนเชิงซ้อนและสังยุคของมันตามลำดับ ค่าเจาะจงสถานะอาพันธ์ คือ

$$\hat{a} |\alpha\rangle = \alpha |\alpha\rangle \quad (19)$$

หรือเขียนในรูปเวกเตอร์เคทที่สัมพันธ์กับสถานะจำนวนได้เป็น

$$|\alpha\rangle = \exp(-|\alpha|^2/2) \sum \frac{\alpha^n}{(n!)^{1/2}} |n\rangle \quad (20)$$

2.2.3 สถานะบีบอัด (Squeezed states)

สถานะบีบอัดหาได้จากการบีบอัดสถานะอาพันธ์ โดยใช้ตัวดำเนินการบีบอัด $\hat{S}(\zeta)$ ดังสมการ

$$|\alpha, \zeta\rangle = \hat{D}(\alpha) \hat{S}(\zeta) |0\rangle \quad (21)$$

โดยที่

$$\hat{S}(\zeta) = \exp\left(\frac{\zeta^*}{2} \hat{a}^2 - \frac{\zeta}{2} (\hat{a}^\dagger)^2\right) \quad (22)$$

โดยที่ ζ, ζ^* เป็นจำนวนเชิงซ้อนและสังยุคของมันตามลำดับ

2.3 วงแหวนสั่นพ้องแพนด้า

การทำนายการเกิดสถานะบีบอัดของโฟตอนในเส้นใยแก้วนำแสงค้นพบโดย P Drummond และคณะ [1] เป็นที่ทราบกันดีว่าอุปกรณ์วงแหวนสั่นพ้องแพนด้า (PANDA Ring Resonator) สามารถใช้ร่วมกับเส้นใยแก้วนำแสงเป็นอย่างดี [2] เพราะอุปกรณ์ชนิดนี้สามารถใช้เป็นตัวกรองความถี่ของแสงและใช้เป็นวงจรสวิตช์ได้เป็นอย่างดี โดยเมื่อป้อนสัญญาณแบบลูกคลื่นลำแสงโซลิตอนแบบต่อเนื่องที่ประตูขาเข้า (Input Port) ของวงแหวนสั่นพ้องแพนด้า พบว่าสัญญาณที่ประตูขาออก (Throughput Port) มีช่วงของ FWHM ที่ทั้งแคบและแหลมคมมาก ด้วยการออกแบบอุปกรณ์ทางแสงชนิดนี้ให้มีขนาดเล็กลงในระดับไมครอน ซึ่งสามารถบรรจุลงในวงจรรวมได้ โดยมีส่วนประกอบภายในที่สำคัญ ดังรูปที่ 2.1



รูปที่ 2.1 แสดงวงจร PANDA Ring Resonator

คุณสมบัติที่โดดเด่นประการหนึ่งของวงแหวนสั่นพ้องแพนด้า คือ การเกิดขึ้นของโหมดห้องการสะท้อนแสง (Whispering Gallery Mode: WGM) ขณะที่มีการเกิดขึ้นของคลื่นสนามไฟฟ้าที่เกิดขึ้นจากอันตรกิริยาระหว่างโฟตอนกับโมเลกุลชนิดไม่เชิงเส้น $\chi^{(3)}$ ของสารตัวกลางวงแหวนสั่นพ้องแพนด้า เล็ดลอดออกมาจนกว่าจะมีการแทรกสอดแบบเสริมกันที่บริเวณภายในห้องวงแหวนกลางของทั้งวงบนและวงล่าง ซึ่งให้ยอดแหลมคมของคลื่นสนามไฟฟ้าที่มีความเข้มสูงมากพอที่จะให้ค่าเกรเดียนท์ของศักย์ไฟฟ้ามากพอเช่นกัน [3] โดยไปเหนี่ยวนำให้เกิดอันตรกิริยาแรงดึงดูดของยอดคลื่นลำแสงกับไดโพลไฟฟ้าของอะตอมอย่างแรง [4] จึงมีความเหมาะสมที่จะนำมาประยุกต์ใช้ทำเป็นอุปกรณ์ดักจับเชิงแสงสำหรับอนุภาคควอนตัมในระดับอะตอมหรือโมเลกุลของสารในสถานะแก๊สได้ ซึ่งสามารถนำไปประยุกต์ใช้ทำตัวตรวจรู้ในอุปกรณ์ระบบควบคุมหรือความปลอดภัยจากแก๊สชนิดต่างๆ ได้อย่างแม่นยำอย่างยิ่ง

บทที่ 3

วิธีการดำเนินการวิจัย

การวิจัยมีลำดับขั้นตอนต่างๆ ดังต่อไปนี้

1. ศึกษาทฤษฎีปรากฏการณ์ความไม่เป็นเชิงเส้นของเส้นใยแก้วนำแสง
2. ศึกษาทฤษฎีควอนตัมของแสง
3. ออกแบบวงแหวนการสั่นพ้องแผนด้า
4. วิเคราะห์ทดสอบการทำงานของระบบวงแหวนการสั่นพ้องแผนด้า
5. สร้างแบบจำลองอธิบายผลที่ได้จากข้อ 4.
6. ปรับปรุงแบบจำลองให้สอดคล้องกับข้อมูลที่ได้ยิ่งขึ้น
7. สรุปผล เขียนรายงานการวิจัย และจัดทำรูปเล่ม
8. เผยแพร่ข้อมูลงานวิจัยผ่านการอบรมสัมมนา/เสนอผลงานการประชุมหรือการตีพิมพ์ลงในวารสารระดับชาติหรือนานาชาติ

3.1 การสร้างสถานะสุญญากาศบีบอัด

3.1.1 สถานะบีบอัด

ในบทนี้จะได้ให้นิยามของสถานะบีบอัดสุญญากาศ โดยที่สถานะบีบอัดโมดเดี่ยวสามารถลดสัญญาณการรบกวนในควอเดรเจอร์หนึ่งของสนามไฟฟ้าลงได้ในปริภูมิเฟส ทฤษฎีโมดเดี่ยวถูกขยายไปสู่ทฤษฎีสองโมดซึ่งมีนิยามของควอเดรเจอร์สองโมดที่จะได้เห็นต่อไป สถานะบีบอัดแบบสองโมดนิยามว่าเป็นสถานะที่สัญญาณการรบกวนในควอเดรเจอร์แบบสองโมดมีค่าน้อยกว่าสถานะสุญญากาศ

ใช้วิธีการแบบสมดุลงแบบไฮโมตายในการสังเกตสถานะสุญญากาศบีบอัด และไม่ใช่สัญญาณรบกวนในโมดเดี่ยวแต่เป็นสัญญาณรบกวนแบบสองโมดที่ถูกวัดด้วยวิธีไฮโมตาย จึงได้กล่าวถึงทฤษฎีของวิธีการไฮโมตายในบทนี้ด้วย

3.1.2 ทฤษฎีสนามไฟฟ้าแบบโมดเดี่ยว

สนามไฟฟ้าที่ถูกควอนไทซ์แล้วแบบโมดเดี่ยวในรูปแบบตัวแทนไฮเซนเบิร์ก เขียนแทนด้วยสมการ

$$\hat{E}(z, t) = \frac{1}{2} \left[\sqrt{\frac{2\hbar\omega}{\epsilon_0 V}} \hat{a} \exp(-i(\omega t - kz)) + \text{h.c.} \right] \quad (23)$$

โดยที่ ω, k และ V คือ ความถี่เชิงมุม เลขคลื่น และ ปริมาตรโมดของการควอนไทซ์ ตามลำดับ \hat{a} คือ ตัวดำเนินการทำลายของสนามและสอดคล้องกับความสัมพันธ์การสลับที่

$$[\hat{a}, \hat{a}^\dagger] = 1 \quad (24)$$

สมการ สามารถแปลงให้เป็น

$$\hat{E}(z,t) = \sqrt{\frac{2\hbar\omega}{\epsilon_0 V}} [\hat{x}_\phi \cos(\omega t - kz - \phi) + \hat{x}_{\phi+\pi/2} \sin(\omega t - kz - \phi)] \quad (25)$$

ด้วยตัวดำเนินการควอเดรเจอร์

$$\hat{x}_\phi = \frac{\hat{a}e^{-i\phi} + \hat{a}^\dagger e^{i\phi}}{2} \quad (26)$$

$$\hat{x}_{\phi+\pi/2} = \frac{\hat{a}e^{-i\phi} - \hat{a}^\dagger e^{i\phi}}{2i} \quad (27)$$

ความสัมพันธ์การสลับที่ระหว่างควอเดรเจอร์ทั้งสองนี้ คือ

$$[\hat{x}_\phi, \hat{x}_{\phi+\pi/2}] = \frac{i}{2} \quad (28)$$

ดังนั้น ความสัมพันธ์ของความไม่แน่นอน คือ

$$\langle (\Delta\hat{x}_\phi)^2 \rangle \langle (\Delta\hat{x}_{\phi+\pi/2})^2 \rangle \geq \frac{1}{16} \quad (29)$$

โดยที่สัญลักษณ์การรบกวนหรือความแปรปรวนของควอเดรเจอร์ คือ

$$\langle (\Delta\hat{x}_\phi)^2 \rangle = \langle \hat{x}_\phi^2 \rangle - \langle \hat{x}_\phi \rangle^2 \quad (30)$$

3.1.3 สถานะสุญญากาศแบบโมดเดียว

นิยามของสถานะสุญญากาศ $|0\rangle$ คือ

$$\hat{a}|0\rangle = 0 \quad (31)$$

ค่าคาดหวังของสนามไฟฟ้าและกำลังสองของมัน คือ

$$\langle 0|\hat{E}|0\rangle = 0 \quad (32)$$

$$\langle 0|\hat{E}^2|0\rangle = \frac{\hbar\omega}{2\epsilon_0 V} \quad (33)$$

ตามลำดับ ดังนั้นสัญลักษณ์การรบกวนของสนามไฟฟ้าถูกกำหนดโดย

$$\langle 0|(\Delta\hat{E})^2|0\rangle = \frac{\hbar\omega}{2\epsilon_0 V} \quad (34)$$

ค่าคาดหวังของควอเดรเจอร์ กำลังสองของมัน และสัญลักษณ์การรบกวนควอเดรเจอร์ คือ

$$\langle 0|\hat{x}_\phi|0\rangle = 0 \quad (35)$$

$$\langle 0|\hat{x}_\phi^2|0\rangle = \frac{1}{4} \quad (36)$$

$$\langle 0|(\Delta\hat{x}_\phi)^2|0\rangle = \frac{1}{4} \quad (37)$$

ตามลำดับ เนื่องจากสถานะสุญญากาศสอดคล้องกับสมการ ดังนั้น สถานะสุญญากาศจึงเป็นสถานะที่มีความไม่แน่นอนที่มีค่าต่ำสุดเมื่อเทียบกับอีกควอเดรเจอร์หนึ่ง

3.1.4 สถานะบีบอัดแบบโมดเดียว

ทฤษฎีควอนตัมเปิดโอกาสให้กระจายควอเทรเจอร์สัญญาณรบกวนได้ พิจารณาสถานะที่ $\langle (\Delta \hat{x}_\phi)^2 \rangle$ มีค่าน้อยกว่า $1/4$ ขณะที่ $\langle (\Delta \hat{x}_{\phi+\pi/2})^2 \rangle$ มีค่ามากกว่า $1/4$ สถานะดังกล่าว เรียกว่า สถานะบีบอัด โดยสถานะบีบอัดโมดเดียว มีนิยามว่า

$$|\psi\rangle_s = \hat{S}_s(\eta)|0\rangle \quad (38)$$

โดยที่ตัวดำเนินการบีบอัดยูนิตารี

$$\hat{S}_s(\eta) = \exp\left[\frac{1}{2}[\eta^* \hat{a}^2 - \eta(\hat{a}^\dagger)^2]\right], \quad \eta = re^{i\theta} \quad (39)$$

เรียก r ว่า พารามิเตอร์บีบอัด ตัวดำเนินการบีบอัดมีคุณสมบัติการแปลงที่มีประโยชน์ คือ

$$\hat{S}_s^\dagger(\eta)\hat{a}\hat{S}_s(\eta) = \hat{a} \cosh r - \hat{a}^\dagger e^{i\theta} \sinh r, \quad (40)$$

$$\hat{S}_s^\dagger(\eta)\hat{a}^\dagger\hat{S}_s(\eta) = \hat{a}^\dagger \cosh r - \hat{a}e^{-i\theta} \sinh r \quad (41)$$

โดยค่าคาดหวังของควอเทรเจอร์ x_ϕ สำหรับสถานะบีบอัด คือ

$${}_s\langle \psi | \hat{x}_\phi | \psi \rangle_s = 0 \quad (42)$$

$${}_s\langle \psi | \hat{x}_\phi^2 | \psi \rangle_s = \frac{1}{4}(\cosh 2r - \cos(\theta - 2\phi) \sinh 2r) \quad (43)$$

เมื่อ $\theta = 2\phi$ สัญญาณรบกวนจึงเขียนได้ว่า

$${}_s\langle \psi | \hat{x}_\phi^2 | \psi \rangle_s = \frac{1}{4}e^{-2r} \quad (44)$$

$${}_s\langle \psi | \hat{x}_{\phi+\pi/2}^2 | \psi \rangle_s = \frac{1}{4}e^{2r} \quad (45)$$

สถานะนี้สอดคล้องกับสมการ นั่นคือ สถานะบีบอัดเป็นสถานะหนึ่งที่มีค่าของความไม่แน่นอนต่ำที่สุด และมีสัญญาณรบกวนควอเทรเจอร์ $\langle (\Delta \hat{x}_\phi)^2 \rangle$ มีค่าน้อยกว่าของสถานะสุญญากาศเมื่อ $r > 0$

3.1.5 ทฤษฎีสนามไฟฟ้าแบบสองโมด

สนามไฟฟ้าแบบสองโมดประกอบด้วย $\omega \pm \delta$ สามารถเขียนได้ว่า

$$\hat{E}(z,t) = \frac{1}{2\sqrt{2}} \sqrt{\frac{2\hbar\omega}{\epsilon_0 V}} [\hat{a}_{\omega+\delta} \exp(-i((\omega+\delta)t - kz)) + h.c.] \quad (46)$$

$$+ \frac{1}{2\sqrt{2}} \sqrt{\frac{2\hbar\omega}{\epsilon_0 V}} [\hat{a}_{\omega-\delta} \exp(-i((\omega-\delta)t - kz)) + h.c.] \quad (47)$$

โดยความสัมพันธ์การสลับที่ของตัวดำเนินการสนาม คือ

$$[\hat{a}_{\omega\pm\delta}, \hat{a}_{\omega\pm\delta}^\dagger] = 1, \quad (48)$$

$$[\hat{a}_{\omega\pm\delta}, \hat{a}_{\omega\mp\delta}^\dagger] = 0 \quad (49)$$

สมการ สามารถเขียนได้ในรูป

$$\hat{E}(z, t) = \sqrt{\frac{2\hbar\omega}{\epsilon_0 V}} \left[\hat{X}(\delta, \phi) \cos(\omega t - kz - \phi) + \hat{X}(\delta, \phi + \pi/2) \sin(\omega t - kz - \phi) \right] \quad (50)$$

โดยที่แอมพลิจูดเฟสควอเดรเจอร์แบบสองโมด คือ

$$\hat{X}(\delta, \phi) = \frac{\hat{a}_{\omega+\delta} e^{-i(\delta t + \phi)} + \hat{a}_{\omega+\delta}^\dagger e^{i(\delta t + \phi)} + \hat{a}_{\omega-\delta} e^{-i(-\delta t + \phi)} + \hat{a}_{\omega-\delta}^\dagger e^{i(-\delta t + \phi)}}{2\sqrt{2}} \quad (51)$$

$$\hat{X}(\delta, \phi + \pi/2) = \frac{\hat{a}_{\omega+\delta} e^{-i(\delta t + \phi)} - \hat{a}_{\omega+\delta}^\dagger e^{i(\delta t + \phi)} + \hat{a}_{\omega-\delta} e^{-i(-\delta t + \phi)} - \hat{a}_{\omega-\delta}^\dagger e^{i(-\delta t + \phi)}}{2\sqrt{2}i} \quad (52)$$

และความสัมพันธ์การสลับที่ระหว่างควอเดรเจอร์แบบสองโมด คือ

$$\left[\hat{X}(\delta, \phi), \hat{X}(\delta, \phi + \pi/2) \right] = \frac{i}{2}, \quad (53)$$

และอสมการหลักความไม่แน่นอน คือ

$$\left\langle (\Delta \hat{X}(\delta, \phi))^2 \right\rangle \left\langle (\Delta \hat{X}(\delta, \phi + \pi/2))^2 \right\rangle \geq \frac{1}{16} \quad (54)$$

3.1.6 สถานะบีบอัดแบบสองโมด

เราเคยพิจารณาสถานะสูญญากาศบีบอัดแบบโมดเดี่ยวแล้ว ตอนนี้จะขยายแนวความคิดไปสู่สถานะสูญญากาศบีบอัดแบบสองโมด โดยนิยาม

$$|\psi\rangle_T = \hat{S}_T(\eta)|0\rangle \quad (55)$$

โดยที่ ตัวดำเนินการการบีบอัดแบบสองโมด \hat{S}_T ถูกกำหนดโดย

$$\hat{S}_T(\eta) = \exp(\eta^* \hat{a}_{\omega+\delta} \hat{a}_{\omega-\delta} - \eta \hat{a}_{\omega+\delta}^\dagger \hat{a}_{\omega-\delta}^\dagger), \quad \eta = re^{i\theta} \quad (56)$$

ด้วยความสัมพันธ์การสลับที่

$$\left[\eta \hat{a}_{\omega+\delta}^\dagger \hat{a}_{\omega-\delta}^\dagger - \eta^* \hat{a}_{\omega+\delta} \hat{a}_{\omega-\delta}, \hat{a}_{\omega\pm\delta} \right] = -\eta \hat{a}_{\omega\mp\delta}^\dagger, \quad (57)$$

ซึ่งทำให้ได้สูตรที่มีประโยชน์มาก คือ

$$\hat{S}_T^\dagger(\eta) \hat{a}_{\omega\pm\delta} \hat{S}_T(\eta) = \hat{a}_{\omega\pm\delta} \cosh r - \hat{a}_{\omega\mp\delta}^\dagger e^{i\theta} \sinh r \quad (58)$$

ค่าคาดหวังของสัญญาณรบกวนควอเดรเจอร์แบบสองโมดและกำลังสองของมันตามลำดับ คือ

$${}_T \langle \psi | \hat{X}(\delta, \phi) | \psi \rangle_T = 0, \quad (59)$$

$${}_T \langle \psi | \hat{X}^2(\delta, \phi) | \psi \rangle_T = \frac{1}{4} (\cosh 2r - \cos(\theta - 2\phi) \sinh 2r) \quad (60)$$

สัญญาณรบกวนควอเดรเจอร์แบบสองโมดถูกกำหนดโดย

$${}_T \langle \psi | (\Delta \hat{X}(\delta, \phi))^2 | \psi \rangle_T = \frac{1}{4} (\cosh 2r - \cos(\theta - 2\phi) \sinh 2r) \quad (61)$$

เมื่อ $\theta = 2\phi$ สัญญาณรบกวนควอดเรเจอร์ คือ

$${}_T \langle \psi | (\Delta \hat{X}(\delta, \phi))^2 | \psi \rangle_T = \frac{1}{4} e^{-2r}, \quad (62)$$

$${}_T \langle \psi | (\Delta \hat{X}(\delta, \phi + \pi/2))^2 | \psi \rangle_T = \frac{1}{4} e^{2r}, \quad (63)$$

สัญญาณรบกวนควอดเรเจอร์ของสถานะสุญญากาศแบบสองโหมด คือ

$${}_T \langle 0 | (\Delta \hat{X}(\delta, \phi))^2 | 0 \rangle_T = \frac{1}{4}, \quad (64)$$

ดังนั้น $\langle (\Delta \hat{X}(\delta, \phi))^2 \rangle$ มีค่าน้อยกว่ากรณีของสถานะสุญญากาศเมื่อ $r > 0$

3.2 พลศาสตร์ของสนามไฟฟ้าในท่อดวงแหวนสั้นพ้องแพนด้า

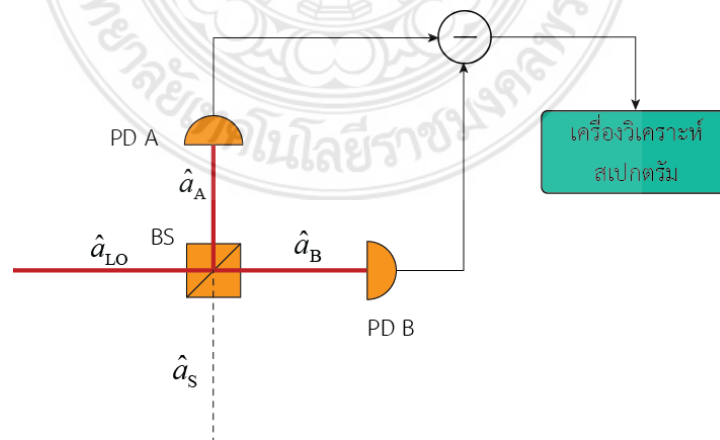
ให้ E_{in} , E_{out} สนามไฟฟ้าขาเข้าและขาออกที่วงแหวนสั้นพ้องแพนด้าตามลำดับ จะได้ความสัมพันธ์

$$\left| \frac{E_{out}}{E_{in}} \right|^2 = (1-\gamma)^2 \left[1 - \frac{\kappa [1 - (1-\gamma)^2 \tau^2]}{1 + (1-\gamma)^2 (1-\kappa)\tau - 2(1-\gamma)\sqrt{1-\kappa\tau \cos \phi}} \right] \quad (65)$$

โดยที่ $\tau = \exp(-\alpha L/2)$ คือ สัมประสิทธิ์การสูญเสียความเข้มในการแผ่วนครบหนึ่งรอบของสนามไฟฟ้า, L คือ ความยาวหรือเส้นรอบวงของวงแหวนแพนด้า, κ คือ สัมประสิทธิ์คู่ควบความเข้มสนามไฟฟ้าที่บริเวณรอยต่อ และ γ คือ สัมประสิทธิ์คู่ควบการสูญเสียความเข้มสนามไฟฟ้า

3.3 การประยุกต์วิธีโฮโมดาายแบบสมดุลกับการสั้นแกว่งเฉพาะที่ไมโครมาติก

วิธีการโฮโมดาายแบบสมดุลเชิงแสงเพื่อวัดสัญญาณรบกวนควอดเรเจอร์ของสัญญาณแสง การจัดอุปกรณ์ดังรูปที่ 3.1



รูปที่ 3.1 แสดงแผนภาพของเครื่องมือโฮโมดาาย แสงตัวสั้นเฉพาะที่อยู่ในสถานะโคฮีเรนต์แบบโหมดเดี่ยว ค่ากำลังของความต่างกระแสไฟฟ้าถูกวัดโดยเครื่องวิเคราะห์สเปกตรัม

สัญญาณแสง \hat{a}_s ผสมกับตัวแยกลำแสงด้วยตัวสั้นแวงโมนโครมาติกเฉพาะที่ \hat{a}_{LO} ที่อยู่ในสถานะโคฮีเรนต์ เอาท์พุททั้งสอง $\hat{a}_{A,B}$ ถูกตรวจจับด้วยตัวตรวจจับโฟโตดีเทคเตอร์ PD A และ PD B ตามลำดับ และค่ากำลังสเปกตรัมของกระแสไฟฟ้าของแต่ละอันก็สามารถวัดได้ด้วยตัววิเคราะห์สเปกตรัม จากความสัมพันธ์อินพุท เอาท์พุทของตัวแยกลำแสง BS สนามไฟฟ้าขาออกสามารถเขียนได้ว่า

$$\hat{a}_A(t) = \frac{1}{\sqrt{2}} \{ \hat{a}_{LO}(t) + i\hat{a}_s(t) \}, \quad (66)$$

$$\hat{a}_B(t) = \frac{1}{\sqrt{2}} \{ i\hat{a}_{LO}(t) + \hat{a}_s(t) \}, \quad (67)$$

ตามลำดับ เนื่องจากตัวสั้นเชิงแสงเฉพาะที่ อยู่ในสถานะโคฮีเรนต์ ดังนั้น ตัวดำเนินการการทำลายจึงสามารถเป็นจำนวนเชิงซ้อนได้

$$\hat{a}_{LO}(t) = \alpha e^{-i\omega t}, \quad (68)$$

$$\alpha = |\alpha_{\text{mono}}| e^{i\theta} \quad (69)$$

โดยปกติการสถานะสูญญากาศบีบอัดผลิตโดยผลึกไม่เชิงเส้นจะมีการกระจายความถี่ในช่วง $\Delta\omega > 10$ MHz อย่างไรก็ตามเราสามารถละทิ้งองค์ประกอบความถี่ของสนามไฟฟ้าสัญญาณอื่น $\hat{a}_{\omega\pm\delta} e^{i(\omega\pm\delta)t}$ เนื่องจากตัวแยกสเปกตรัมวัดกำลังของบีตส์ δ ดังนั้น สนามไฟฟ้าของสัญญาณจึงสามารถเขียนได้ว่า

$$\hat{a}_s(t) = \hat{a}_{\omega+\delta} e^{-i(\omega+\delta)t} + \hat{a}_{\omega-\delta} e^{-i(\omega-\delta)t} \quad (70)$$

แทนสมการ และ ลงในสมการ และ จะได้

$$\hat{a}_A(t) = \frac{1}{\sqrt{2}} \left(\alpha e^{-i\omega t} + i\hat{a}_{\omega+\delta} e^{-i(\omega+\delta)t} + i\hat{a}_{\omega-\delta} e^{-i(\omega-\delta)t} \right) \quad (71)$$

$$\hat{a}_B(t) = \frac{1}{\sqrt{2}} \left(\alpha e^{-i\omega t} + \hat{a}_{\omega+\delta} e^{-i(\omega+\delta)t} + \hat{a}_{\omega-\delta} e^{-i(\omega-\delta)t} \right) \quad (72)$$

ความแตกต่างระหว่างกระแสไฟฟ้าระหว่าง PD A และ PD B กำหนดโดย

$$\begin{aligned} \Delta\hat{I} &= C(a_A^\dagger(t)\hat{a}_A(t) - \hat{a}_B^\dagger(t)\hat{a}_B(t)) \\ &= iC \left[\alpha^* \hat{a}_{\omega+\delta} - \alpha \hat{a}_{\omega-\delta}^\dagger e^{-i\delta t} + (\alpha^* \hat{a}_{\omega-\delta} - \alpha \hat{a}_{\omega+\delta}^\dagger e^{i\delta t}) \right] \\ &= C |\alpha_{\text{mono}}| \left[\hat{a}_{\omega+\delta} e^{-i(\delta t + (\theta - \pi/2))} + \hat{a}_{\omega+\delta}^\dagger e^{i(\delta t + (\theta - \pi/2))} \right. \\ &\quad \left. + \hat{a}_{\omega-\delta} e^{-i(-\delta t + (\theta - \pi/2))} + \hat{a}_{\omega-\delta}^\dagger e^{i(-\delta t + (\theta - \pi/2))} \right] \\ &= 2\sqrt{2} |\alpha_{\text{mono}}| \hat{X}(\delta, \theta - \pi/2) \end{aligned} \quad (73)$$

โดยที่ คอแอดเจอร์แบบสองโมด $\hat{X}(\delta, \theta)$ นิยามตามสมการ (52) จากทฤษฎีไวเนอร์-ชินท์ไซน์ (Wiener - Khintchine) ฟังก์ชันสเปกตรัมความหนาแน่น $\langle \hat{S}_{\text{mono}} \rangle$ ของ $\Delta\hat{I}$ นิยามว่า

$$\langle \hat{S}_{\text{mono}}(\delta') \rangle = \frac{1}{\pi} \int_{-\infty}^{\infty} d\tau \langle \Delta \hat{I}(t) \Delta \hat{I}(t + \tau) \rangle \cos \delta' \tau \quad (74)$$

แทนสมการ (73) ลงในสมการ (74) จะได้

$$\langle \hat{S}_{\text{mono}}(\delta') \rangle = 8(C |\alpha_{\text{mono}}|)^2 \langle \hat{X}^2(\delta, \theta - \pi/2) \rangle \delta(\delta' - \delta) \quad (75)$$

โดยที่ $\delta(\delta' - \delta)$ คือ ดิแรกเดลต้าฟังก์ชัน ถ้าสนามไฟฟ้าของสัญญาณอยู่ในสถานะสุญญากาศ ดังนั้นสัญญาณรบกวนที่วัดได้ คือ

$$\langle \hat{S}_{\text{mono}}(\delta, \theta) \rangle_{\text{vac}} = 2C |\alpha_{\text{mono}}|^2 \quad (76)$$

สเปกตรัมกำลังของความต่างกระแสไฟฟ้าซึ่งทำให้ปกติแล้วด้วยระดับสัญญาณรบกวนสุญญากาศ คือ

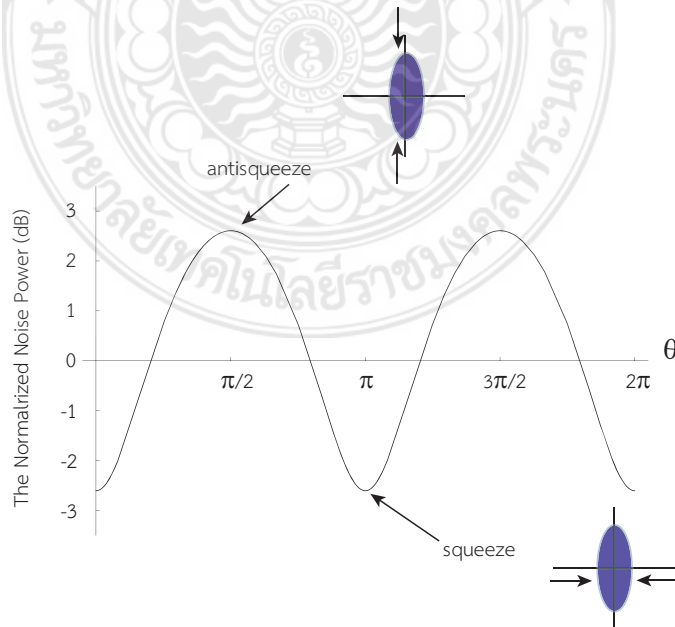
$$\hat{S}_{\text{mono}} = 4\hat{X}^2(\delta, \theta - \pi/2) \quad (77)$$

ยังพบอีกว่า สัญญาณรบกวนคอเวอเรจอร์จากทิศทางต่างๆสามารถวัดได้โดยการเปลี่ยนเฟสของตัวส่ง เฉพาะที่

เมื่อสัญญาณของสถานะ $|\psi\rangle$ เป็นสถานะสุญญากาศบีบอัดแบบสองโมด ค่าคาดหวังของสเปกตรัมกำลังเขียนได้ว่า

$$\langle \psi | \hat{S}_{\text{mono}}(\delta, \theta) | \psi \rangle = \cosh 2r - \cos(\phi - 2\theta + \pi) \sinh 2r \quad (78)$$

โดยที่ ϕ คือ เฟสของสนามไฟฟ้าที่ถูกบีบเข้ามาในกระบวนการขยายสัญญาณเชิงแสงพาราเมตริก ถ้าไม่มีการสูญเสียใดๆเกิดขึ้น เราสามารถให้ $\phi = \pi$ รูปที่ 3.2 แสดงความไม่อิสระของกำลังสัญญาณรบกวนที่ปกติแล้วต่อเฟสของตัวส่งแวงเฉพาะที่ θ เมื่อพารามิเตอร์บีบอัด $r = 0.3$ การบีบอัดสูงสุด คือ -2.6 dB และการต่อต้านการบีบอัด คือ +2.6 dB สามารถสังเกตได้เมื่อ $\theta = 0$ และ $\theta = \pi/2$ ตามลำดับ



รูปที่ 3.2 ความไม่อิสระของกำลังที่ปกติแล้วที่ขึ้นกับมุมเฟสของการสั้นเฉพาะที่มีค่าพารามิเตอร์บีบอัด $r = 0.3$ กำลังของสัญญาณรบกวนที่เป็นปกติแล้วมีหน่วยเป็นเดซิเบล (dB) ซึ่งได้มาจากสูตร $10 \log_{10} \langle \hat{S} \rangle$

3.4 การเหลื่อมทับกันเชิงปริภูมิของลำแสงสัญญาณกับตัวสั้นเฉพาะที่

ที่ผ่านมาเรายังไม่ได้พิจารณาโหมดปริภูมิของสัญญาณแสงและแสงของตัวสั้นแวงเฉพาะที่ตั้งในทางแผงแล้วต้องมีอยู่เช่นเดียวกัน เนื่องจากวิธีโฮมตาวัตสัญญาณควอเดรเจอร์ของสนามไฟฟ้าของโหมดปริภูมิว่าเป็นของตัวสั้นแวงเฉพาะที่ ซึ่งการเหลื่อมซ้อนทับกันเชิงปริภูมิระหว่างสัญญาณแสงและตัวสั้นแวงเฉพาะที่มีความสำคัญมาก ให้ ξ เป็นการเหลื่อมซ้อนทับกันระหว่างการสั้นเฉพาะที่กับลำแสงสัญญาณ ตัวสั้นแวงเฉพาะที่แบ่งออกเป็นสองโหมด ดังนี้

$$\hat{a}_{LO} = \xi \hat{a}_{LO}^{\parallel} + \sqrt{1 - \xi^2} \hat{a}_{LO}^{\perp}, \quad (79)$$

โดยที่ โหมดปริภูมิของ \hat{a}_{LO}^{\parallel} มีค่าเช่นเดียวกับลำแสงสัญญาณขณะที่โหมดปริภูมิของ \hat{a}_{LO}^{\perp} ตั้งฉากกับของลำแสงสัญญาณ สมการ (66) และสมการ (67) สามารถอนุพัทธ์ต่อไปสู่สองโหมด ได้ คือ

$$\hat{a}_A^{\parallel}(t) = \frac{1}{\sqrt{2}} \{ \hat{a}_{LO}^{\parallel}(t) + i \hat{a}_s^{\parallel}(t) \}, \quad (80)$$

$$\hat{a}_B^{\parallel}(t) = \frac{1}{\sqrt{2}} \{ i \hat{a}_{LO}^{\parallel}(t) + \hat{a}_s^{\parallel}(t) \}, \quad (81)$$

$$\hat{a}_A^{\perp}(t) = \frac{1}{\sqrt{2}} \{ \hat{a}_{LO}^{\perp}(t) + i \hat{a}_s^{\perp}(t) \}, \quad (82)$$

$$\hat{a}_B^{\perp}(t) = \frac{1}{\sqrt{2}} \{ i \hat{a}_{LO}^{\perp}(t) + \hat{a}_s^{\perp}(t) \}. \quad (83)$$

ดังนั้น ตัวดำเนินการทำลายของตัวสั้นเฉพาะที่ในส่วนที่ตั้งฉากและส่วนที่ขนานในสถานะโคฮีเรนต์ จึงเขียนได้ว่า

$$\hat{a}_{LO}^{\parallel}(t) = \xi \alpha e^{-i\omega t}, \quad (84)$$

$$\hat{a}_{LO}^{\perp}(t) = \sqrt{1 - \xi^2} \alpha e^{-i\omega t}, \quad (85)$$

ตามลำดับ กำลังของความต่างของกระแสไฟฟ้า คือ

$$\hat{S}_{\text{mono}}(\delta, \theta) = \xi^2 \hat{S}_{\text{mono}}^{\parallel}(\delta, \theta) + (1 - \xi^2) \hat{S}_{\text{mono}}^{\perp}(\delta, \theta), \quad (86)$$

โดยที่

$$\hat{S}_{\text{mono}}^{(\perp)}(\delta, \theta) = 8(C | \alpha_{\text{mono}} | \hat{X}^{(\perp)}(\delta, \theta))^2, \quad (87)$$

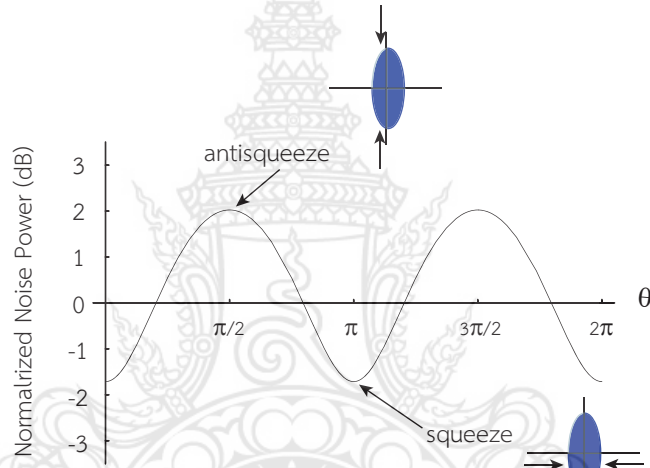
โดยที่ $\hat{X}^{(\perp)}$ คือ สัญญาณรบกวนควอเดรเจอร์ของโหมดขนาน(ตั้งฉาก)กับตัวสั้นแวงเฉพาะที่ เนื่องจากสถานะที่ต้องกระทำคือสถานะสุญญากาศด้วยตัวดำเนินการ \hat{X}^{\perp} ดังนั้น สเปกตรัมกำลังที่ปกติแล้วของความแตกต่างกระแสไฟฟ้า จึงเขียนได้เป็น

$$\hat{S}_{\text{mono}}(\delta, \theta) = 4\xi^2 (\hat{X}^{\parallel}(\delta, \theta))^2 + 1 - \xi^2 \quad (88)$$

ซึ่งสามารถขยายไปสู่กรณีสัญญาณการบีบอัดที่สูญเสียความเข้ม L ก่อนที่จะมาถึงตัวตรวจจับสัญญาณไฮโมคตายได้ สเปกตรัมกำลังที่ปกติแล้วจึงเขียนได้ว่า

$$\hat{S}_{\text{mono}}(\delta, \theta) = 4\xi^2 (\hat{X}^{\parallel}(\delta, \theta))^2 + 1 - \zeta, \quad (89)$$

โดย $\zeta = (1-L)\xi^2$ คือ ปัจจัยสัมประสิทธิ์การตรวจจับ รูปที่ 3.3 แสดงความสัมพันธ์ระหว่างสเปกตรัมกำลังและ θ เฟสของตัวสั้นแวงเฉพาะที่ เมื่อพารามิเตอร์บีบอัด $r=0.3$ ค่าสภาพที่จะมองเห็นได้ $\xi=0.95$ และค่าการสูญเสีย $L=0.2$ ค่าการบีบอัดสูงสุด (-1.7 dB) และค่าต่อต้านการบีบอัด (+2.0 dB) ถูกสังเกตได้โดยการปรับค่าเฟสของตัวสั้นแวงเฉพาะที่ สังเกตว่าระดับการบีบอัดลดลง 0.9 dB (=2.6 dB - 1.7 dB) ขณะที่ระดับการต่อต้านการบีบอัดลดลงเพียง 0.6 dB (=2.6 dB - 2.0 dB) การบีบอัดจึงมีความไวต่อการสูญเสียหรือค่าสภาพที่จะมองเห็นมากกว่าการต่อต้านการบีบอัด



รูปที่ 3.3 กราฟความสัมพันธ์ระหว่างสเปกตรัมกำลังซึ่งขึ้นกับมุมเฟสของการสั้นแวงเฉพาะที่ ค่าพารามิเตอร์การบีบอัด $r=0.3$ สภาพมองเห็นได้ $\xi=0.95$ และการสูญเสีย $L=0.2$

ในทฤษฎีควอนตัมของการแผ่รังสีการสูญเสียไม่ได้ทำให้เกิดการลดค่าของจำนวนโฟตอนแต่ยังมีความเกี่ยวข้องกับสัญญาณการรบกวนสัญญาณการพิจารณาสถานะสัญญาณการบีบอัดบริสุทธิ์ซึ่งมีสัญญาณการรบกวนควอเดรเจอร์ เป็น

$$\langle \hat{x}_\phi^2 \rangle = \frac{1}{8} \left(= \frac{1}{2} \times \langle 0 | \hat{x}_\phi^2 | 0 \rangle \right) \quad (90)$$

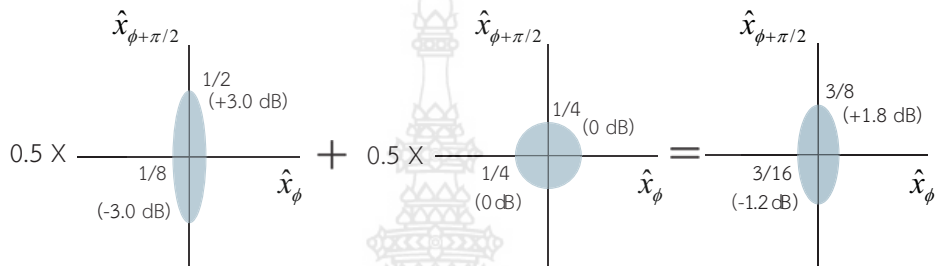
$$\langle \hat{x}_{\phi+\pi/2}^2 \rangle = \frac{1}{2} \left(= 2 \times \langle 0 | \hat{x}_\phi^2 | 0 \rangle \right) \quad (91)$$

ตามลำดับ กล่าวอีกอย่าง ระดับการบีบอัดและการต่อต้านการบีบอัดของสถานะสัญญาณการบีบอัด คือ -3.0 dB และ +3.0 dB ตามลำดับ ถ้าครึ่งหนึ่งของสัญญาณการบีบอัดถูกดูดกลืนและสัญญาณรบกวนสัญญาณการบีบอัดถูกฉีดเข้าไปสู่สถานะดังรูปที่ (3.4) สัญญาณรบกวนควอเดรเจอร์เปลี่ยนแปลงค่า ดังนี้

$$\langle \hat{x}_\phi^2 \rangle \rightarrow 0.5 \times \frac{1}{8} + 0.5 \times \frac{1}{4} = \frac{3}{16}, \tag{91}$$

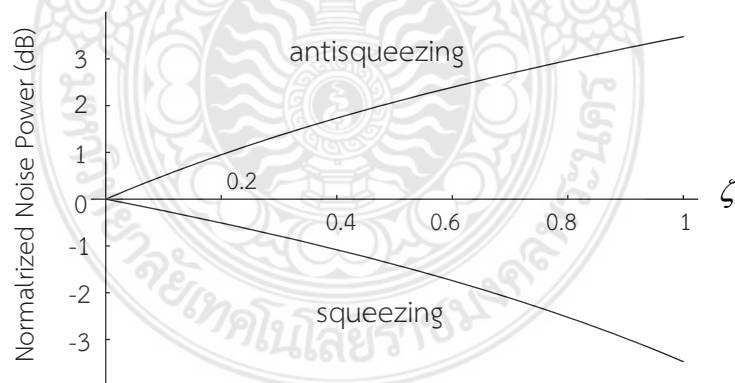
$$\langle \hat{x}_{\phi+\pi/2}^2 \rangle \rightarrow 0.5 \times \frac{1}{2} + 0.5 \times \frac{1}{4} = \frac{3}{8}, \tag{92}$$

ตามลำดับ กล่าวอีกอย่าง ระดับการบีบอัดและต่อต้านการบีบอัดของสถานะสุญญากาศเปลี่ยนจาก -1.2 dB และ +1.8 dB ตามลำดับ ขณะที่ระดับการบีบอัดเปลี่ยนแปลง 1.8 dB ระดับการต้านการบีบอัดลดลงเพียง 1.2 dB ความแตกต่างเพิ่มขึ้นถ้าระดับการบีบอัดเริ่มต้นมีค่าสูงกว่า ระดับสถานะสุญญากาศบีบอัดมีความไวต่อการสูญเสียอย่างมาก จากการพิจารณา การบีบอัดมากกว่า -3 dB ไม่สามารถบรรลุได้ด้วยการมีอยู่ของการสูญเสีย 50%



รูปที่ 3.4 ไดอะแกรมการสูญเสีย สถานะสุญญากาศบีบอัด -3 dB มีค่าการสูญเสีย $L = 0.5$ หลังจากการดูดกลืนระดับการบีบอัดที่สังเกตได้ลดลงเป็น -1.2 dB

การขึ้นอยู่กับของการบีบอัดและการต่อต้านการบีบอัดสูงสุดต่อสัมประสิทธิ์การตรวจจับ แสดงในรูปที่ 3.5 ด้วยพารามิเตอร์การบีบอัด $r = 0.3$



รูปที่ 3.5 แสดงความสัมพันธ์ระหว่างสเปกตรัมกำลังและประสิทธิภาพการตรวจจับ ζ โดยมีค่าพารามิเตอร์การบีบอัด $r = 3$

3.5 การสร้างสถานะสูญญากาศบีบอัดด้วยวิธีโรซแนนท์

การสร้างสถานะบีบอัดจะต้องเซตเครื่องมือออกเป็น 2 ส่วนหลัก คือ ดับเบิลอร์ และ ตัวขยาย พาราเมตริกซ์เชิงแสง(ตัวบีบอัด) จึงต้องศึกษาทฤษฎีทัศนศาสตร์ไม่เชิงเส้นลำดับที่สองในโพรง

3.5.1 โครงสร้างการแผ่ของคลื่นในตัวกลางไม่เชิงเส้น

เมื่อฉายแสงตกกระทบตัวกลางที่ตอบสนองต่อแสงแบบไม่เชิงเส้น แสงจะไปเหนี่ยวนำให้ตัวกลางเกิดโพลาไรเซชันขึ้น ซึ่งจะเป็นสัดส่วนกับระดับขนาดที่สองหรือสูงกว่าของสนามไฟฟ้า ดังนั้นโพลาไรเซชันจึงประกอบด้วยสองส่วนหลัก คือ ส่วนที่ตอบสนองต่อแสงแบบเชิงเส้น P_L และแบบที่ตอบสนองต่อแสงไม่เป็นเชิงเส้น P_{NL} โดยที่โพลาไรเซชันรวม เขียนได้ว่า

$$P = P_L + P_{NL} \quad (93)$$

โดยที่

$$P_L = \epsilon_0 \chi^{(1)} \cdot \mathbf{E}, \quad (94)$$

$$P_{NL} = \epsilon_0 \chi^{(2)} \cdot \mathbf{E}\mathbf{E} + \epsilon_0 \chi^{(3)} \cdot \mathbf{E}\mathbf{E}\mathbf{E} + \dots \quad (95)$$

โดยที่ $\chi^{(i)}$ คือ ค่าความอ่อนไหวทางไฟฟ้าลำดับที่ i ซึ่งโดยทั่วไปเป็นเทนเซอร์ลำดับที่ $i+1$ จากสมการแมกซ์เวลล์ การแผ่ของคลื่นแม่เหล็กไฟฟ้าในตัวกลาง คือ

$$\nabla^2 \mathbf{E} - \mu_0 \epsilon \frac{\partial^2 \mathbf{E}}{\partial t^2} = \mu_0 \frac{\partial^2 P_{NL}}{\partial t^2} \quad (96)$$

โดยที่ $\epsilon = \epsilon_0 (1 + \chi^{(1)})$ เราสนใจเพียงผลเฉลยของความไม่เป็นเชิงเส้นของตัวกลางในลำดับที่ 2 เท่านั้น สมมติว่าเราสนใจเฉพาะผลเฉลยแบบคลื่นระนาบที่มีโพลาไรซ์ตามแนวแกน x เท่านั้น และคลื่นกำลังแผ่ไปตามแนวแกน z ด้วยความถี่ ω_1, ω_2 และ ω_3 ดังนี้

$$E^{(\omega_1)}(z, t) = \frac{1}{2} E_1(z) e^{i(\omega_1 t - k_1 z)} + c.c., \quad (97)$$

$$E^{(\omega_2)}(z, t) = \frac{1}{2} E_2(z) e^{i(\omega_2 t - k_2 z)} + c.c., \quad (98)$$

$$E^{(\omega_3)}(z, t) = \frac{1}{2} E_3(z) e^{i(\omega_3 t - k_3 z)} + c.c., \quad (99)$$

โดยที่ E_i คือ แอมพลิจูดเชิงซ้อนที่แปรค่าอย่างช้าๆ และเราได้ละทิ้งส่วนที่ขึ้นกับเวลาของมันด้วย ดังนั้น สนามไฟฟ้าชั่วขณะ คือ

$$E(z, t) = E^{(\omega_1)}(z, t) + E^{(\omega_2)}(z, t) + E^{(\omega_3)}(z, t) \quad (100)$$

เพื่อที่จะควบสนามผ่านโพลาไรซ์ไม่เชิงเส้น เราสมมติว่า $\omega_3 = \omega_1 + \omega_2$ และยังสมมติให้ $\chi^{(2)}$ เป็นปริมาณสเกลาร์ และ P มีทิศทางขนานกับแกน x สมการ (96) จึงเขียนใหม่ได้ว่า

$$\nabla^2 E(z,t) - \mu_0 \varepsilon \frac{\partial^2 E(z,t)}{\partial t^2} = \mu_0 \varepsilon_0 \chi^{(2)} \frac{\partial^2}{\partial t^2} (E(z,t)^2) \quad (101)$$

เมื่อใช้การประมาณให้แอมพลิจูดแปรค่าช้ามาก ๆ และการประมาณเฟส จึงได้สมการพื้นฐานอธิบายอันตรกิริยาลำดับที่ 2 คือ

$$\frac{dE_1}{dz} = -\frac{i\omega_1}{2} \sqrt{\frac{\mu_0}{\varepsilon}} \varepsilon_0 \chi^{(2)} E_3 E_2^* e^{-i(k_3 - k_2 - k_1)z}, \quad (102)$$

$$\frac{dE_2^*}{dz} = \frac{i\omega_2}{2} \sqrt{\frac{\mu_0}{\varepsilon}} \varepsilon_0 \chi^{(2)} E_2 E_3^* e^{-i(k_3 + k_2 + k_1)z}, \quad (103)$$

$$\frac{dE_3}{dz} = -\frac{i\omega_3}{2} \sqrt{\frac{\mu_0}{\varepsilon}} \varepsilon_0 \chi^{(2)} E_1 E_2 e^{-i(k_3 + k_2 + k_1)z}. \quad (104)$$

3.5.2 การผลิตฮาร์โมนิกเชิงแสงลำดับที่ 2

ผลึกไม่แผ่รังสีด้วยตัวเองแบบไม่เชิงเส้นเมื่อกระตุ้นด้วยแสงเลเซอร์หรือเรียกสั้นๆว่าแสงพื้นฐานทำให้เกิดคลื่นฮาร์โมนิกลำดับที่ 2 กระบวนการนี้อธิบายได้ด้วยสมการ (102) – (104) ความถี่แสงพื้นฐานคือ ω และแอมพลิจูดคือ $\mathcal{E}^{(\omega)}$ ดังนั้น จึงให้ $\omega_1 = \omega_2 = \omega$ และ $\mathcal{E}_1 = \mathcal{E}_2 = \mathcal{E}^{(\omega)}$ แสงฮาร์โมนิกลำดับที่ 2 คือ $\mathcal{E}_3 = \mathcal{E}^{(2\omega)}$ และ $\omega_3 = 2\omega$ สมการ (104) แปลงไปเป็น

$$\frac{d\mathcal{E}^{(2\omega)}}{dz} = -i\omega \sqrt{\frac{\mu_0}{\varepsilon}} \varepsilon_0 \chi^{(2)} (\mathcal{E}^{(\omega)})^2 e^{i\Delta k z} \quad (105)$$

โดยที่ $\Delta k = k_3 - 2k_1$ เมื่ออินทิเกรตสมการนี้จะได้แอมพลิจูดของแสงฮาร์โมนิกลำดับที่ 2 ที่ผิวหน้าของผลึก $z = d$ คือ

$$\mathcal{E}^{(2\omega)}(d) = -i\omega \sqrt{\frac{\mu_0}{\varepsilon}} \varepsilon_0 \chi^{(2)} (\mathcal{E}^{(\omega)})^2 \frac{e^{i\Delta k d} - 1}{i\Delta k} \quad (106)$$

และกำลังแสงเอาท์พุทของฮาร์โมนิกลำดับที่ 2 คือ

$$\begin{aligned} \mathcal{I}^{(2\omega)}(d) &= \frac{1}{2} c \varepsilon_0 |\mathcal{E}^{(2\omega)}|^2 \\ &= \left(\frac{\mu_0}{\varepsilon} \right)^{3/2} (\omega \varepsilon_0 \chi^{(2)})^2 (\mathcal{I}^{(\omega)})^2 d^2 \frac{\sin^2(\Delta k d / 2)}{(\Delta k d / 2)^2} \end{aligned} \quad (107)$$

กำลังของแสงฮาร์โมนิกลำดับที่ 2 เป็นสัดส่วนโดยตรงกับกำลังสองของแสงพื้นฐาน จึงนิยาม สัมประสิทธิ์การผันกลับ ดังนี้

$$\eta = \frac{\mathcal{I}^{(2\omega)}}{(\mathcal{I}^{(\omega)})^2} = \left(\frac{\mu_0}{\varepsilon} \right)^{3/2} (\omega \varepsilon_0 \chi^{(2)})^2 d^2 \frac{\sin^2(\Delta k d / 2)}{(\Delta k d / 2)^2} \quad (108)$$

และนิยามปัจจัยการสูญเสียจากการผันกลับ คือ

$$\beta = \frac{\mathcal{I}^{(2\omega)}}{\mathcal{I}^{(\omega)}} = \left(\frac{\mu_0}{\varepsilon} \right)^{3/2} (\omega \varepsilon_0 \chi^{(2)})^2 \mathcal{I}^{(\omega)} d^2 \frac{\sin^2(\Delta kd/2)}{(\Delta kd/2)^2} \quad (109)$$

3.5.3 การเทียบเฟสเสมือน

เฟสของการโพลาไรเซชันไม่เชิงเส้นวิวัฒนาการด้วยขนาด $2k_1$ และของคลื่นไฟฟ้าด้วยขนาด k_3 ซึ่ง $\Delta k = k_3 - 2k_1$ คือ ความคลาดของเลขคลื่นของโพลาไรเซชันไม่เชิงเส้นจากคลื่นไฟฟ้า เมื่อ $2k_1 = k_3$ เฟสเหล่านี้ไปสู่ลำดับขั้นตอน เงื่อนไขนี้ถูกอ้างว่าเป็นการเทียบเฟส ในขณะที่ความเข้มของสนามเพิ่มขึ้นเป็นสัดส่วนตาม z^2 เมื่อ $\Delta k = 0$ ฟังก์ชันของความเข้มสนามมีลักษณะเป็นคาบเมื่อ $\Delta k \neq 0$ ดังนั้น ความเข้มก็ไม่เลื่อนจางไป

ดัชนีหักเหเพิ่มขึ้นอย่างปกติกับค่า ω หรือ k ในที่นี่จะใช้เทคนิคของยาริฟ ซึ่งเป็นวิธีของการเทียบเฟส โดยใช้ผลึกที่ไม่เป็นเชิงเส้นแล้วทำการมอดูเลตแบบมีคาบเป็นช่วงๆ โดยการย้อนทิศทางของแกนหลักอย่างเป็นคาบ สัมประสิทธิ์ไม่เชิงเส้น $\chi^{(2)}(z)$ สามารถกระจายในรูปของอนุกรมฟูรีเยร์ คือ

$$\chi^{(2)}(z) = \chi_0^{(2)} \left[\sum_{m=-\infty}^{\infty} a_m \exp\left(im \frac{2\pi}{\Lambda} z \right) \right], \quad (110)$$

โดยที่

$$a_m = \frac{1}{\Lambda} \int_0^\Lambda \frac{\chi^{(2)}(z)}{\chi_0^{(2)}} \exp\left(-im \frac{2\pi}{\Lambda} z \right) dz \quad (111)$$

และ Λ คือคาบของ $\chi^{(2)}(z)$ แทนค่าสมการ (110) ลงในสมการ (102) จะได้

$$\frac{d\mathcal{E}_1}{dz} = -\frac{i\omega_1}{2} \sqrt{\frac{\mu_0}{\varepsilon}} \varepsilon_0 \chi_0^{(2)} \mathcal{E}_3 \mathcal{E}_2^* \exp\left[i \left(m \frac{2\pi}{\Lambda} - k_3 + k_2 + k_1 \right) z \right] \quad (112)$$

ถ้ามีจำนวนเต็ม m ที่สอดคล้องกับเงื่อนไข

$$m \frac{2\pi}{\Lambda} = k_3 - k_2 - k_1 \quad (113)$$

การเทียบเฟสก็เป็นจริง ถ้า $\chi^{(2)}(z)$ เริ่มจาก $\chi_0^{(2)}$ ถึง $-\chi_0^{(2)}$ ทุกๆค่าของ $\Lambda/2$ ซึ่งจะได้

$$a_m = \frac{1 - \cos m\pi}{m\pi} \quad (114)$$

ถ้าเลือก $m=1$ สัมประสิทธิ์ไม่เชิงเส้นจึงเขียนได้ว่า

$$\chi_{eff}^{(2)} = a_1 \chi_0^{(2)} = \frac{2}{\pi} \chi_0^{(2)} \quad (115)$$

3.5.4 เงื่อนไขที่ดีที่สุดในการโพกัสลำแสงลงใส่ผลึกที่ไม่เป็นเชิงเส้น

ลำแสงเกาเซียนซึ่งมีภาคตัดขวางจำกัดมีช่วงความยาวโพกัสรวม $z_0 = \pi\omega_0^2 n / \lambda$ เป็นตัวบอกระยะทางจากเอวของลำแสงซึ่งพื้นที่ของลำแสงมีค่าเป็นสองเท่าของช่วงเอวลำแสง ถ้าละทิ้งการบานออกของลำแสงจะได้สัมประสิทธิ์การผันกลับ คือ

$$\eta = \left(\frac{\mu_0}{\varepsilon} \right)^{3/2} \frac{(\omega \varepsilon_0 \chi^{(2)} d) \sin^2(\Delta kd / 2)}{\pi \omega_0^2 (\Delta kd / 2)^2} \quad (116)$$

3.6. แฮมิลโตเนียนของระบบ

เมื่อโฟตอนโมดปั๊มมีอันตรกิริยากับผลึกที่มีการตอบสนองต่อลำแสงเลเซอร์พลังงานสูงที่ตกกระทบแบบไม่เชิงเส้นระดับพลังงานของอะตอมผลึกก็ถูกกระตุ้นขึ้นไปอยู่ในสถานะกระตุ้นจนกระทั่งอะตอมของผลึกที่ไม่สมมาตรได้ปลดปล่อยโฟตอนออกมาสองโมด ได้แก่ โฟตอนโมดสัญญาณ (s) และโฟตอน โมดนิ่งเฉย (i) ออกมา สามารถเขียนแฮมิลโตเนียนของอันตรกิริยานี้ซึ่งเรียกว่า การผสมโฟตอนแบบสี่โมด ได้ว่า

$$\hat{H} = i\hbar \chi^{(3)} (\hat{a}_s^\dagger \hat{a}_i^\dagger \hat{a}_p^2 - \hat{a}_s \hat{a}_i \hat{a}_p^{\dagger 2}) \quad (117)$$

เมื่อ $\hat{a}_s^\dagger, \hat{a}_i^\dagger, \hat{a}_p^\dagger$ คือ ตัวดำเนินการการสร้างโฟตอนโมดสัญญาณ โมดนิ่งเฉย และโมดปั๊ม ตามลำดับ เมื่อนำสมการ(117) เพื่อศึกษาการวิวัฒนาการในเวลาของตัวดำเนินการทั้งสามโมด จาก

$$i\hbar \frac{d}{dt} \hat{\rho} = [\hat{H}, \hat{\rho}] \quad (118)$$

เมื่อ $\hat{\rho}$ คือ ตัวดำเนินการเมตริกซ์หนาแน่นของระบบ ซึ่งมีความสัมพันธ์กับ ความน่าจะเป็นของการเปลี่ยนสถานะของโฟตอน $P(\mathbf{\alpha}, \mathbf{\alpha}^+)$ ในปริภูมิจำนวนเชิงซ้อน ดังนี้

$$\hat{\rho} = \int_D \hat{\Lambda}(\mathbf{\alpha}, \mathbf{\alpha}^+) P(\mathbf{\alpha}, \mathbf{\alpha}^+) d\mu(\mathbf{\alpha}, \mathbf{\alpha}^+) \quad (119)$$

เมื่อ $\mathbf{\alpha} \equiv (\alpha_p, \alpha_s, \alpha_i)$ และ $\mathbf{\alpha}^+ \equiv (\alpha_p^+, \alpha_s^+, \alpha_i^+)$ และ

$$\hat{\Lambda}(\mathbf{\alpha}, \mathbf{\alpha}^+) = \frac{|\mathbf{\alpha}\rangle \langle (\mathbf{\alpha}^+)^*|}{\langle (\mathbf{\alpha}^+)^* | \mathbf{\alpha} \rangle} \quad (120)$$

จึงทำให้ได้สมการการวิวัฒนาการของตัวดำเนินการที่สอดคล้อง คือ

$$\frac{\partial}{\partial t} \alpha_s = \chi^{(3)} \alpha_i^+ \alpha_p^2 + \sqrt{\chi^{(3)} \alpha_p / 2} \xi_1(t) \quad (121)$$

$$\frac{\partial}{\partial t} \alpha_s^+ = \chi^{(3)} \alpha_i \alpha_p^{+2} + \sqrt{\chi^{(3)} \alpha_p^+ / 2} \xi_2(t) \quad (122)$$

$$\frac{\partial}{\partial t} \alpha_i = \chi^{(3)} \alpha_s^+ \alpha_p^2 + \sqrt{\chi^{(3)} \alpha_p / 2} \xi_3(t) \quad (123)$$

$$\frac{\partial}{\partial t} \alpha_i^+ = \chi^{(3)} \alpha_s \alpha_p^{+2} + \sqrt{\chi^{(3)} \alpha_p^+ / 2} \xi_4(t) \quad (124)$$

$$\frac{\partial}{\partial t} \alpha_p = -\chi^{(3)} \alpha_s \alpha_i^2 \alpha_p^+ + \sqrt{\chi^{(3)} \alpha_s \alpha_i} \xi_5(t) \quad (125)$$

$$\frac{\partial}{\partial t} \alpha_p^+ = -\chi^{(3)} \alpha_s^+ \alpha_i^+ \alpha_p + \sqrt{\chi^{(3)} \alpha_s^+ \alpha_i^+} \xi_6(t) \quad (126)$$

โดยที่ สหสัมพันธ์ของสัญญาณการรบกวน คือ

$$\langle \xi_i(t) \xi_j(t') \rangle = \delta_{ij} \delta(t-t') \quad \text{โดยมี } \langle \xi_j \rangle = 0 \quad \text{โดยที่ } i, j = 1, 2, \dots, 6 \quad (127)$$

ซึ่งสมการการคู่ควบการวิวัฒน์ของตัวดำเนินการโมดเหล่านี้จะถูกนำไปแก้โดยการวิเคราะห์เชิงตัวเลขหาค่าต่อไปในบทที่ 4

ผลสืบเนื่องที่เกิดขึ้น คือ หากวงแหวนสั้นพ้องแผนด้ามี่สถานะที่พอเหมาะ กล่าวคือ การเปลี่ยนแปลงไปมาระหว่างกันของโฟตอนทั้งสามโมด จะตรงกับกฎอนุรักษ์พลังงานและโมเมนตัม โฟตอนสถานะเกี่ยวพันกันในโมดสัญญาณและโมดนิ่งเฉยก็เกิดขึ้นตามมา และสถานะเกี่ยวพันกันของโฟตอน เขียนในรูปสมการเบลล์ในแบบสมมาตร ได้คือ

$$|\psi\rangle^{(\pm)} = \frac{1}{\sqrt{2}} (|+\rangle_s \otimes |-\rangle_i \pm |-\rangle_s \otimes |+\rangle_i) \quad (128)$$

และสถานะแบบ อสมมาตร

$$|\phi\rangle^{(\pm)} = \frac{1}{\sqrt{2}} (|+\rangle_s \otimes |+\rangle_i \pm |-\rangle_s \otimes |-\rangle_i) \quad (129)$$

สมการเหล่านี้ซึ่งมีประโยชน์มากในการประยุกต์ใช้ทางด้านสารสนเทศเชิงควอนตัมต่อไป ดังนั้น จึงจำเป็นต้องทดสอบบรรทัดฐานการมีสหสัมพันธ์ระหว่างกันของตัวดำเนินการที่เกี่ยวข้อง โดยอาศัยเงื่อนไขการเข้าคู่กันของความแปรปรวนค่าน้อยสุด V^{inf} ของตัวดำเนินการ \hat{X}_i และ \hat{Y}_i ตามสมการของเบลล์ ดังนี้

$$V^{\text{inf}}(\hat{X}_i) V^{\text{inf}}(\hat{Y}_i) < 1 \quad (130)$$

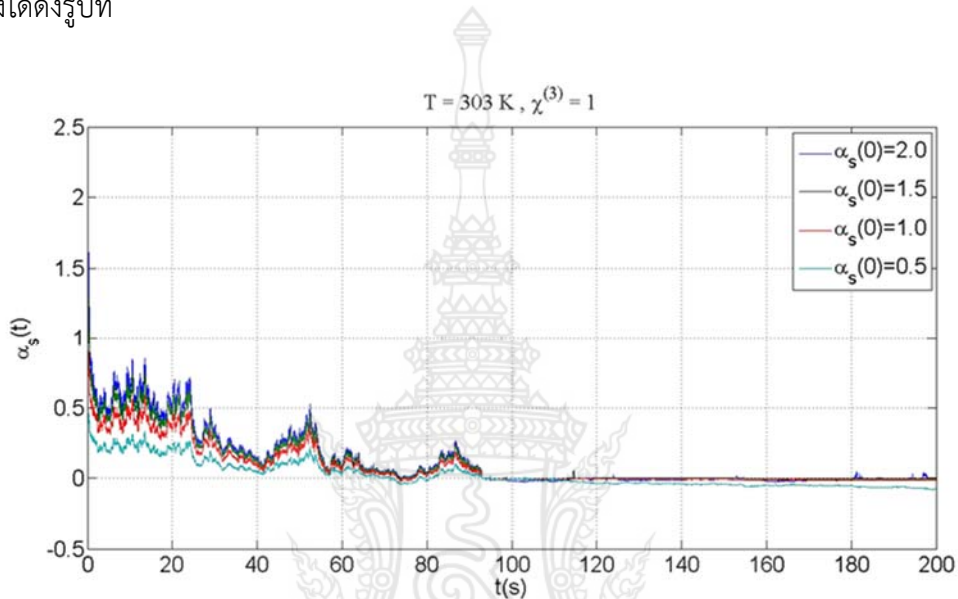
ซึ่งในสมการนี้ จะนำมาประยุกต์ใช้เพื่อตรวจสอบค่าความสมมูลของตัวดำเนินการในโมดสัญญาณและโมดนิ่งเฉย ซึ่งจะวิเคราะห์เชิงตัวเลขตามเงื่อนไขของสมการนี้ต่อไปในบทที่ 4

บทที่ 4

ผลการวิเคราะห์ข้อมูล

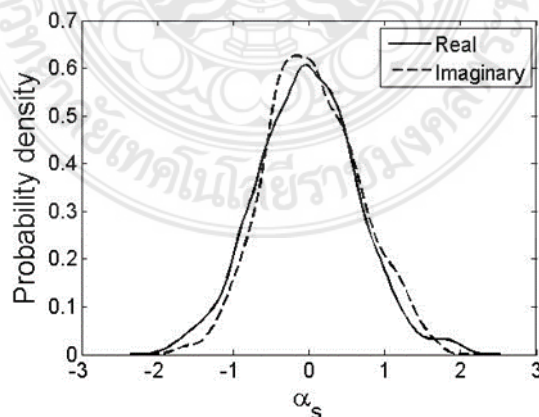
4.1 ผลการวิเคราะห์สมการเชิงตัวเลข

ผลเฉลยเชิงการวิเคราะห์เชิงตัวเลขของสมการ (121) – (126) ของตัวดำเนินการโฟตอนในโมดสัญญาณในสถานะสมดุลความร้อน ที่อุณหภูมิ 303 K ด้วยเงื่อนไขเริ่มต้น ณ เวลา $\alpha_s(0)$ สามารถแสดงได้ดังรูปที่



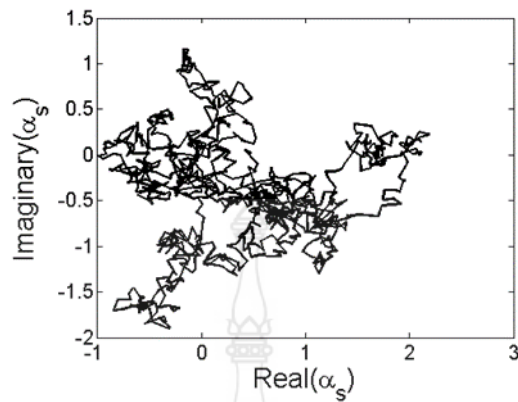
รูปที่ 4.1 แสดงการวิวัฒนาการตามเวลาของตัวดำเนินการโฟตอนในโมดสัญญาณ $\alpha_s(t)$ ณ เวลา t ใดๆ

และยังพบว่า ตัวดำเนินการโฟตอนโมดสัญญาณนี้มีการแจกแจงความน่าจะเป็นที่ปกติอีกด้วยทั้งส่วนจริงและส่วนจินตภาพ ดังรูปที่



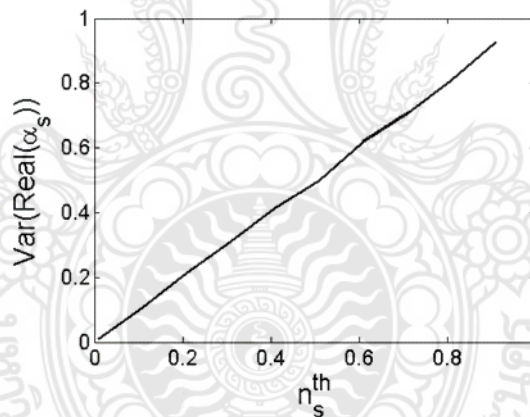
รูปที่ 4.2 การกระจายความหนาแน่นความน่าจะเป็นของตัวดำเนินการ α_s มีค่าที่ยอมรับได้สำหรับค่าสังเกตต่างๆ

เมื่อนำการวิวัฒนาการของตัวดำเนินการส่วนจริงและส่วนจินตภาพมาเปรียบเทียบกันจะได้ผลดังรูปที่



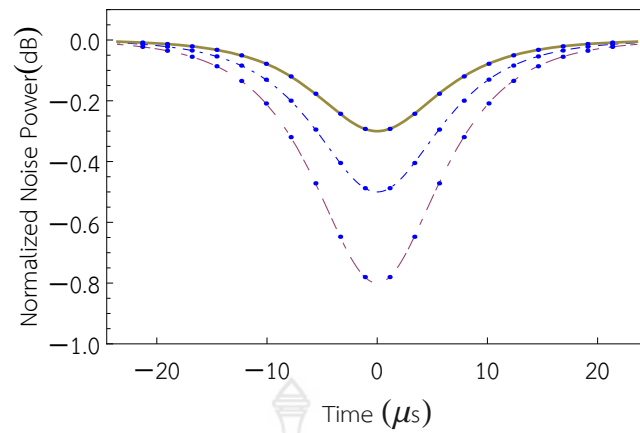
รูปที่ 4.3 เส้นวิถีของสถานะตัวดำเนินการสถานะสัญญาณโฟตอน α_s ทั้งส่วนจริงและส่วนจินตภาพ ที่สอดคล้องกับสมการ (121)

ผลเฉลยจากสมการ (121) ยังสอดคล้องกับสมการของเบลล์ ดังรูปที่



รูปที่ 4.4 ความแปรปรวนร่วม V^{inf} ของการวิวัฒนาการสถานะของสัญญาณ α_s มีค่าน้อยกว่าหนึ่งซึ่งความสอดคล้องกับสมการของเบลล์

การวัดกำลังของพัลส์ลำแสงโมดสัญญาณและพัลส์ลำแสงโมดนิ่งเฉย ณ เวลาต่างๆ ของโฟตอน คู่เกี่ยวพันกัน ได้ผลดังรูปที่



รูปที่ 4.5 การขึ้นกับเวลาการวัดสัญญาณรบกวนของพัลส์ที่เหย้าเข้าไปเพื่อเป็นตัวตรวจสอบ โดยเส้นกราฟเส้นกลาง คือ พัลส์อ้างอิง ส่วนบนและเส้นล่างเป็นของพัลส์โหมดสัญญาณและโหมดนิ่งเฉยตามลำดับ



บทที่ 5

สรุปผล อภิปรายและข้อเสนอแนะ

5.1 สรุปผล

ได้วิเคราะห์การแผ่ของคลื่นสถานะโพตอนแบบบีบอัดภายในวงแหวนสั่นพ้องแพนด้า โดยได้วิเคราะห์หาเวลาที่สถานะยังสามารถดำรงอยู่ในระหว่างการมีอันตรกิริยากับแหล่งความร้อนภายใต้สมดุลความร้อน พบว่าสถานะของโพตอนที่ได้มีความเหมาะสมจึงควรนำวงแหวนสั่นพ้องดังกล่าว ที่จะนำไปประยุกต์ใช้เพื่อผลิตเป็นชิ้นส่วนของวงจรในหน่วยประมวลผลควอนตัมคอมพิวเตอร์ได้

5.2 ข้อเสนอแนะ

การออกแบบวงแหวนสั่นพ้องแพนด้า ควรเสกสมatraให้เล็กลงระดับของท่อนำคลื่นนาโน เพื่อประสิทธิภาพการประมวลผลที่ละเอียดแม่นยำและมีประสิทธิภาพมากขึ้น



บรรณานุกรม

1. P.D. Drummond and Z. Ficek, *Quantum Squeezing*, Springer, Berlin, 2004.
2. Xiao, Min, Jiang, Dong, and Yang. *Coupling Whispering-Gallery-Mode Microcavities with Modal Coupling Mechanism*, 2008, IEEE Journal of Quantum Electronics, Vol. 44. Issue 11, p. 1065.
3. Ashkin, *Acceleration and Trapping of Particles by Radiation Pressure*, 1970, Phys. Rev. Lett. Vol. 24, p. 156.
4. S. Chu, J. E. Bjorkholm, A. Ashkin, and A. Cable, *Experimental Observation of Optically Trapped Atoms*, 1986, Phys. Rev. Lett. Vol. 57, p. 314.



ประวัติผู้วิจัย

ดร.ชัชวาล ศรีภักดี สำเร็จการศึกษาระดับปริญญาตรีจากวิทยาลัยครูนครราชสีมา วุฒิ
การศึกษา ค.บ. (ฟิสิกส์) พ.ศ. 2536 สำเร็จการศึกษาระดับปริญญาโทจากจุฬาลงกรณ์มหาวิทยาลัย วุฒิ
การศึกษา วท.ม. (ฟิสิกส์) พ.ศ. 2542 และสำเร็จการศึกษาระดับปริญญาเอกจากสถาบันเทคโนโลยีพระ
จอมเกล้าเจ้าคุณทหารลาดกระบัง วุฒิการศึกษา ปร.ด (ฟิสิกส์ประยุกต์) พ.ศ. 2551 ปัจจุบันรับราชการ
ตำแหน่งอาจารย์ สังกัด กลุ่มวิชาฟิสิกส์ สาขาวิชาวิทยาศาสตร์ คณะวิทยาศาสตร์และเทคโนโลยี
มหาวิทยาลัยเทคโนโลยีราชมงคลพระนคร ดร.ชัชวาล ศรีภักดี มีความสนใจในหัวข้อการวิจัยทางด้าน
ฟิสิกส์เกี่ยวกับ สารสนเทศเชิงควอนตัม ทัศนศาสตร์เชิงควอนตัม การจำลองสถานการณ์ โดยมี
ผลงานวิจัยได้รับการตีพิมพ์ระดับนานาชาติมากกว่า 9 เรื่อง

